La Mine de Piteiras, Minas Gerais, nouvelle source d'émeraude de belle qualité au Brésil

RONDEAU Benjamina, NOTARI Francka, GIULIANI Gastona, MICHELOU Jean-Claudea, MARTINS Sergioa, FRITSCH Emmanuel, RESPINGER Axel

Résumé

La mine de Piteiras produit depuis 2001 de petites quantités d'émeraude de belle qualité. Elle se trouve dans le Quadrilatero Ferrifero de l'Etat de Minas Gerais, au Brésil, entre les gisements connus de Capoeirana et Belmont. La minéralisation est située sur la zone de chevauchement (orogenèse Brasiliano) qui met en contact des roches ultrabasiques avec un granite très déformé. Les émeraudes se trouvent dans un schiste à amphibole verte et mica phlogopite. La moyenne de la valeur des isotopes de l'oxygène des émeraudes est $\delta^{18}O = 6.8 \pm 0.1\%$ (presque pas de variation dans le gisement), et donc proche de celle des gisements de la région. Elle reste la valeur la plus basse mesurée pour les émeraudes brésiliennes. Elle est proche des valeurs isotopiques déterminées pour les roches ultramafiques. La signature isotopique de l'hydrogène de l'eau structurale est une moyenne de δD de -36,7 ± 4‰, prouvant une origine métamorphique et non magmatique. Les fluides parents appartiennent au système H·O-CO₂-NaCl et leurs conditions de piègeage sont évaluées à une pression d'environ 2,5 kbar pour une température comprise entre 450 et 650°C. Ces fluides sont strictement d'origine métamorphique, même si des granites sont spatialement associés à l'émeraude.

Les caractéristiques gemmologiques des émeraudes de Piteiras sont typiquement celles des émeraudes brésiliennes. Les canaux et cavités contiennent tous de l'eau (ou saumure) et du CO₂ en phases liquide et gazeuse. La quantité assez importante de CO₂ contenu dans ces émeraudes se voit clairement en spectrométrie infrarouge (IRTF). La plupart de ces cavités contiennent une ou plusieurs phases minérales solides, mais pas de halite (NaCl). Les feldspaths sont représentés principalement par l'albite qu'on y rencontre sous diverses morphologies, aussi bien dans la masse de l'émeraude que dans les cavités. Cette variation de morphologie de l'albite (parfois dans le même spécimen) n'est pas fréquente. La quantité relativement importante de fer véhiculée par les fluides a permis la formation de pyrrhotite sous forme de feuillets. Nous avons aussi observé des cristaux d'actinolite de morphologie prismatique et de taille millimétrique.

La mine de Piteiras produit des émeraudes pouvant être d'excellente qualité, mais la production est, pour le moment, sporadique. Le potentiel élevé du gisement permettra, si l'exploitation est développée, la commercialisation de quantités considérables d'émeraudes de belle qualité provenant de cette mine récemment découverte.

Abstract

The Piteiras mine produces since 2001 small quantities of emerald of excellent quality. It is located in the Quadrilatero Ferrifero in the state of Minas Gerais, Brazil, between the well-known Capoeirana and Belmont mine deposits. The mineralization is located on the thrust zone (Brasiliano orogenesis) putting in contact ultramafic rocks with highly deformed granites. Emeralds are hosted in a green amphibole and phlogopite mica schist. The average oxygen isotopic composition of the emeralds is $\delta^{is}O = 6.8 \pm$ 0,1% (nearly constant over the deposit), therefore close to the values for the neighboring deposits, still the "lightest" value measured for Brazilian emeralds. This value is within the isotopic range defined for ultramafic rocks. The average isotopic signature of the hydrogen from the structural water is $\delta D = -36.7 \pm 4\%$ o. This proves that the fluids are of metamorphic origin rather than magmatic. Parent fluids belong to the H2O-CO2-NaCl system and their trapping conditions are evaluated for a pressure around 2,5 kbar and a temperature ranging from 450 to 650°C. These fluids are strictly metamorphic in origin even if granites are spatially associated with the emerald mineralization. The gemmological characteristics of the emeralds from Piteiras are typically those of Brasilian emeralds. All the channels and cavities contains water (or brine) plus liquid and gazeous CO: phases. The quite important amount of CO2 contained in these emeralds can be easily observed in infrared spectrometry (FTIR). Most of those cavities

contains one or several mineral solid phases, but no halite (NaCl). Feldspars are mainly represented by albite. It is encountered with various morphologies in the body of the emerald as well as in the multiphase inclusions. This morphological variation of albite (sometimes in the same sample) is not common.

The relatively important amount of iron conveyed by the fluids makes the formation of foliated pyrrhotite possible. We observed as well prismatic actinolite of millimetric size. The Piteiras mine produces emeralds which can be of excellent quality, but the production is as of yet sporadic. The high potential of this deposit will allow (if the deposit is developped) the commercialization of considerable quantities of high quality emeralds.

- Département Histoire de la Terre, Muséum National d'Histoire Naturelle, 75005 Paris Rondeau@mnhn.fr
- ^b GemTechLab, 2 rue Chantepoulet, CH-1201 Genève, Suisse gemtechlab@bluewin.ch
- * IRD et CRPG/CNRS, BP 20, 54501 Vandœuvre cedex, France giuliani@crpg.cnrs-nancy.fr
- ^a International Colored Gemstones Association Director, Calle 10, N°2-38, Bogota, Colombie jcmichelou@yahoo.com
- * Stone World, Rua epaminondas Otoni, 665 9° andar 39800-013 Teofilo Otoni Brésil smartins@attglobal.net
- Institut des Matériaux Jean Rouxel (IMN), 2 rue de la Houssinière, BP 32229, 44322 Nantes cedex 3 fritsch@cnrs-imn.fr

1- Introduction

Dès le XVI^{eme} siècle, les "Bandeirantes" Portugais ont recherché l'émeraude au Brésil, notamment dans l'Etat

du Minas Gerais mais ils ne découvrirent que de la tourmaline verte. Le premier indice ne fut découvert qu'en 1912, à Brumado, dans l'Etat de Bahia (Just, 1926) mais il ne suscita aucun intérêt. Par contre, la découverte en 1961 de l'indice de Salininha, dans l'Etat de Bahia, stimula la prospection. Après 1963, d'autres gisements furent découverts dans cet Etat (Fig. 1). Aujourd'hui, 5 gisements importants sont exploités au Brésil comme garimpos (réserves nationales bénéficiant d'un code minier particulier et exploitées suivant méthodes artisanales) ou de façon privée. Il s'agit des garimpos de Carnaíba et Socotó (Bahia), de Santa Terezinha appelé aussi "Campos Verdes" (Goiás), Capoeirana, et de la mine Belmont (Minas Gerais).

Depuis environ début 2001, un nouveau gisement brésilien livre irrégulièrement sur le marché des émeraudes de très belle qualité, mais toujours en petite quantité. Elles proviennent de la mine de Piteiras, située entre la mine Belmont et le garimpo de Capoeirana (Fig. 2).

Le présent travail est focalisé sur l'émeraude de Piteiras. Il traite de l'historique de sa découverte et des conditions d'exploitation de la mine, de son cadre géologique et de sa genèse ainsi que de ses caractéristiques géochimiques et gemmologiques. Quatre des échantillons ayant servi aux études non destructives ont désormais intégré la Collection de Minéralogie du Museum sous le numéro 203.155.



Fig. 1 - Le Précambrien dans le continent Sud-Americain (localisation des différents indices et mines d'émeraude, modifié d'après Brito Neves et Cordani, 1991). 1 Aires cratamiques archéennes ; 2 Ceintures mobiles proterozoïques ; 3 Couverture sédimentaire du Protérozoïque supérieur ; 4 Bassins sédimentaires post protérozoïques ; 5 Chaîne andine ; 6 Linuamont Trans Brasiliano (LTB) ; 7 Zones de collision ; 8 Indices d'émeraude : (1 : Coqui, 2 : Tauá, 3 : Saliminha, 6 : Anagé, 7 : Brumado, 8 : Santana dos Ferros, 10 : Itaberaí, 11 : Pirenópolis, 13 : Mara Rosa, 14 : Porangatu, 15 : Pela Ema, 16 : Monte Santo) ; 9 Gisements d'ème raude : (4 : Socoto, 5 : Carnaíba, 9 : Belmont, Piteiras, Capoeirana, 12 : Santa Torozinta).

The Precambrian in the South American continent (location of the different occurrences and emerald deposits, modified after Brito Neves et Cordani, 1991).

1 Archean cratonic areas ; 2 Interior mobile belts ; 3 Upper Proterozoic sedimentary cover ; 4 Post Proterozoic sedimentary basins ; 5 Andean chain ; 6 Trans-Brasiliano Lineament (LTB) ; 7 Traces of collisional sutures ; 8 Emerald occurrences ; (1 : Coqui, 2 : Tauá, 3 : Salininha, 6 ; Anagé, 7 : Brumado, 8 : Santa na dos Ferros, 10 : Itaberaí, 11 : Pirenópolis, 13 : Mara Rosa, 14 : Porangatu, 15 : Pela Erna, 16 : Monte Santo) ; 9 Emerald deposits : (4 : Socotó, 5 : Carnalba, 9 : Belmont, Piteiras, Capoeirana, 12 : Santa Terezinha).

2- Historique de la découverte des gisements d'émeraude dans l'Etat du Minas Gerais

La première émeraude a été découver-

te en 1920 dans la région de Santana dos Ferros (indices de Ferros et Cubas), située à 180 km au nord-nord-est de Belo Horizonte (Cunha, 1961). A Ferros (Fig. 3), l'émeraude fut exploitée dans les éluvions et alluvions du "rio" Ribeirão das esmeraldas. L'indice est aujourd'hui abandonné. Par la suite d'autres indices ont été trouvés accidentellement notamment celui de Brejaúba dans la région de Santa Maria de Itabira et d'autres à São Domingos do Prata.

Les découvertes les plus récentes et économiquement viables se situent entre les localités d' Itabira et de Nova Era, En 1978, le futur gisement d'Itabira est découvert dans une propriété privée dénommée " Fazenda Itabira". Après trois années d'exploitation artisanale réalisée par le propriétaire des terrains, la mine est reprise et mécanisée par la société minière Belmont Gemas Ltda. La mine Belmont (ex-Itabira) devient la première exploitation d'émeraude privée du Brésil (Bastos, 1981; Hänni et al., 1987; Schwarz, 1987; Epstein, 1989; de Souza, 1990). En 1988, des émeraudes sont découvertes à Capoeirana, sur la commune de Nova Era, à une dizaine de kilomètres au sud-est de Belmont. Cette fois, l'invasion de garimpeiros conduit à la création d'une coopérative de chercheurs indépendants appellée Coogemig qui détient toujours les droits miniers de ce secteur. Ceux-ci sont cédés aux

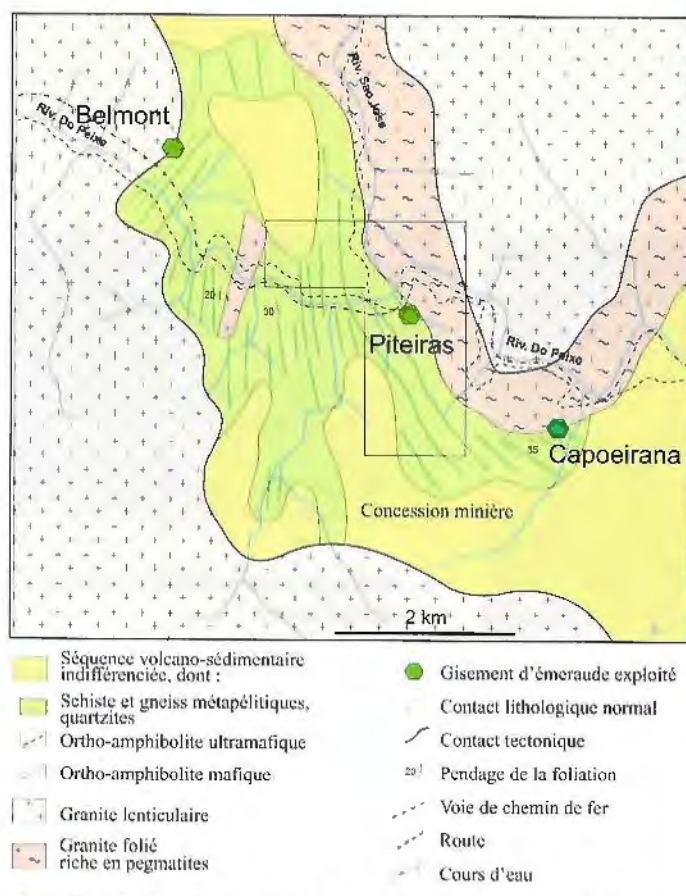


Fig. 2 - Carte géologique de la région de Piteiras. Trois gisements sont maintenant exploités, tous dans le même contexte géologique, au contact "tectonique" entre des niveaux ultrabasiques (roches riches en chrome, vanadium et magnésium principalement) et des granites déformés (avec des peginatites contenant du barytlium, aluminium et silicium), modifié d'après Souza et al., (1992).

Geological map of the Piteiras area. Three deposits are currently mined. All occurs in the same geological context. Ultrabasic bodies (chromium, vanadium and magnesium-rich-bearing rocks) are in contact with deformed granites (beryllium, aluminum-silicium-rich pogmatites), modified after Souza et al., (1992).

chercheurs indépendants à condition que l'exploitation soit organisée et sécurisée.

Le gisement d'émeraude de Piteiras a été découvert officiellement en 1998. Piteiras était l'une des fermes d'élevage "Fazenda Piteiras" les plus prospères de la région avec 80% des terrains appartenant à la municipalité d'Itabira et 20% à celle de Nova Era. Située à 15 km au sud-est de la ville d'Itabira, la concession minière s'étend sur 313 hectares entre la mine Belmont et le garimpo de Capoeirana (Fig. 2).

3- Exploitation et production de la mine de Piteiras

En 1999, la mine appartenait à la société brésilienne Piteiras Mineração

Ltda qui détenait la totalité des droits d'exploitation minière de la Fazenda Piteiras. Par ailleurs, la compagnie SEAHAWK MINERALS. d'origine canadienne (et cotée à la bourse de Vancouver), notamment spécialisée dans l'exploitation des mines d'or. s'intéressa au potentiel en émeraude de la région. Elle décida de prospecter et d'explorer systématiquement le secteur. En 1999, cette compagnie racheta 75% des parts de Piteiras Mineração Ltda et, en 2000, les premiers bruts d'émeraude de qualité commerciale étaient produits. Les opérations minières furent momentanément interrompues à partir d'octobre 2001, surtout par le manque de connaissances du développement minier appliqué aux gemmes.

SEAHAWK MINERALS s'associa

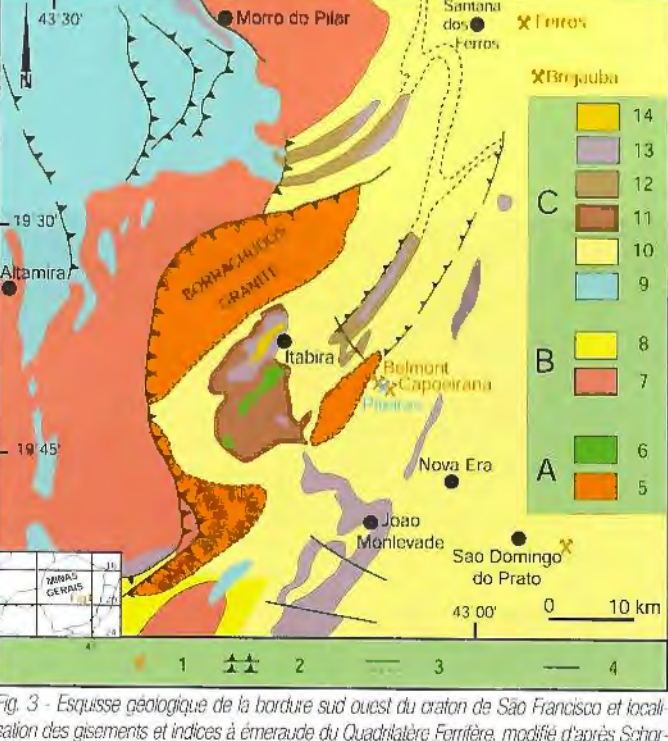


Fig. 3 - Esquisse géologique de la bordure sud ouest du craton de São Francisco et locali sation des gisements et indices à émeraude du Quadrilatère Ferrifère, modifié d'après Schorscher et al., (1982). 1 ; gisement et indice à émeraude ; 2 · faille de chevauchement ; 3 : contact géologique ; 4 : faille ; A : roches ultrabasiques métamorphisées et roches cataclas tiques avec 5 : roches granitiques type Borrachudos, 6 : roches mota-ultrabasiques ; B : Groupe du Pre-Minas avec. 7 : socie archéen, 8 : Super groupe Rio das Velhas ; C : Super groupe Minas avec 9 : quartzite Espinhaço, 10 : Séquence des paragneiss, 11 · Séquence des schistes verts, 12 : Groupe Caraca, 13 : Groupe Itabira, 14 : Groupe Piracicaha. Geological sketch of the southwestern border of the São Francisco craton with the location of the deposits and occurrences of emerald in the Quadrilatero Ferrifero, modified from Schorscher et al., (1982), 1: deposit and occurrence of emerald; 2: thrust fault; 3: geological contact; 4: fault; A: meta-ultrabasic and cataclastic rocks with 5: granitic rocks type Borrachudos, 6: meta-ultrabasics; B: Pre-Minas Group wilh 7: Archean basement, 8: Rio das Velhas Super Group; C: Minas Super Group with 9: Espinhaço quartzite, 10: paragneiss sequence, 11: green schist sequence, 12: Caraça Group, 13: Ilabira Group, 14: Piracicaba Group.

ensuite à la société brésilienne Stone World, spécialisée dans la transformation du brut d'émeraude, achat, vente et exportation. Désormais, cette dernière se charge de la distribution des émeraudes, qu'on a déjà pu voir par ailleurs aux salons de Tucson, Bâle, Las Vegas et Hong Kong.

On compte localement 15 secteurs miniers en activité pérenne, répartis sur les trois sites principaux : Belmont, Piteiras et Capoeirana. Les productions sont petites et sporadiques. Ces petites concessions minières peuvent par exemple produire 10 à 20 kilos d'émeraude de très bonne qualité en quelques jours, puis ne plus rien produire pendant des semaines, voire des mois. Cependant en 1981, les réserves mesurées pour la mine Belmont atteignaient



Fig. 4 - Vue de l'entrée de l'unique galerie de Piteiras. Il est prévu de l'étendre à une profondeur de 200 m. Entrance of the sole tunnel of the Piteiras mine. It is planed to reach a depth of 200 m.

1 162 000 m³ de minerai avec une teneur moyenne de 165 grammes d'émeraude par tonne (Schwarz, 1987). Cette estimation mesurée qui correspond à une teneur de 825 carats par tonne était surévaluée et probablement biaisée par le fait que la partie superficielle du gisement comportait des émeraudes provenant des colluvions, des éluvions et de la roche en place.

A Piteiras, l'exploitation minière comporte une seule galerie (Fig. 4). Un plan incliné, actuellement d'une profondeur de 50 m, est projeté pour atteindre une profondeur de 200 m. Les réserves, établies d'après les relevés géologiques et les sondages, sont estimées à près de 800.000 tonnes de minerai contenant 112 carats d'émeraude par tonne (l'équivalent de 22,4 grammes par tonne), soit un total de 88 millions de carats d'émeraude brute. D'après l'expérience acquise sur des gisements de même type, on peut penser que la mine de Piteiras constituera dans le futur une importante source d'émeraude de qualité. La figure 5 montre un lot typique d'émeraude de Piteiras. Le plus gros cristal trouvé dans la mine pèse 3 200 grammes soit 16 000 carats (Fig. 6) et a de petites parties gemmes.

La production est encore limitée, et seulement 50 personnes au total (mineurs, techniciens et ingénieurs) travaillent sur le site (Fig. 7). Cependant, les travaux d'infrastructure qui sont actuellement en cours permettront de compter sur une production non seulement plus importante mais aussi plus régulière. Actuellement, 90% des

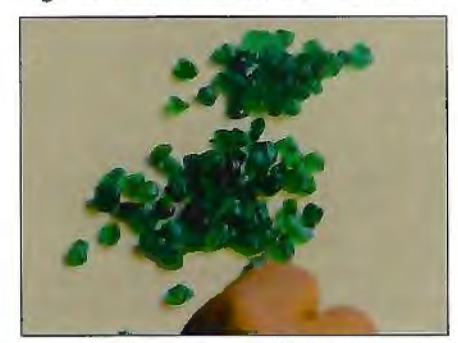


Fig. 5 - Lot d'émeraudes brutes. Ca lot peut être extrait soit en quelques jours soit après des semaines et des mois d'exploitation infructueuse.

Parcel of rough emeralds. These emeralds can be found either in a few days or after long weeks or months of unsuccessfull mining.

gemmes extraites de Piteiras sont de bonne, voire d'excellente qualité : la couleur et le "cristal" (qualité jugeant de l'éclat et de la transparence d'une pierre) sont supérieurs aux autres émeraudes brésiliennes, ce qui explique que les prix obtenus sur le marché interprofessionnel peuvent aller de 20 US\$ jusqu'à 8 000 US\$ par carat.

4- Cadre géologique des émeraudes du Minas Gerais

Les différents gisements et indices d'émeraude du Brésil se localisent dans le craton de São Francisco et dans les provinces tectoniques du Tocantins et de Borborema qui forment les bordures ouest et nord-est du craton (Fig. 1).



Fig. 6 - Cristal d'érineraude brute de 3 200 grammes (16 000 carats). C'est la plus grosse émeraude trouvée à ce jour à Piteiras.

Rough emerald crystal weighing 3,200 grams (16,000 carats). This is the biggest emerald found in Piteiras to date.

Les émeraudes du Minas Gerais se situent dans l'extrême partie sud-ouest du craton de São Francisco, connu également sous le nom du Quadrilatère Ferrifère (Fig. 1, 3). Dans cette région, le craton comporte trois ensembles lithostructuraux bien définis (Almeida et al., 1981; Inda et al., 1984; Ledru et Bouchot, 1993).

- un premier, formé d'unités archéennes (blocs gneissiques et migmatitiques de *Gavião* d'âge compris entre 3.2 et 2,7 milliards d'années).



Fig. 7 - La zone d'exploitation de Piteiras View of the Piteiras mining area.

- un deuxième, formé d'unités supracrustales archéennes (ceintures de roches vertes de *Rio das Velhas*) et de formations détritiques.

- des unités supracrustales du Protérozoïque inférieur (âge compris entre 2,7 et 1,6 milliards d'années), composées principalement par la formation volcano-sédimentaire à forte composante détritique de *Minas*.

Le Quadrilatère Ferrifère a été soumis à d'intenses déformations tangentielles lors de l'orogenèse transamazonienne (2,2 à 1,8 milliards d'années, Machado et al., 1989; Marshak et Alkmin, 1989; Brito Neves et Cordani, 1991; Romano et al., 1991) mais également au cours de la phase orogénique du Brasiliano (0.9 à 0,4 milliards d'années; Brito Neves et Cordani, 1991). La distinction entre les deux phases tectoniques est généralement difficile à établir dans le Quadrilatère Ferrifère (Bertrand et Jardim de Sá. 1990). Les gisements d'émeraude se situent uniquement dans les unités supracrustales du Protérozoïque inférieur de Minas (Santana dos Ferros, Mina Belmont-Piteiras-Capoeirana), Ils sont associés spatialement à des granites et/ou des pegmatites dont l'âge n'est pas toujours connu. Le gisement de Capoeirana a été daté par la méthode argon/argon sur des micas magnésiens (phlogopites) intimement associés à l'émeraude (Ribeiro-Althoff et al., 1997). L'âge obtenu est de 508 ± 0.2 Ma et indique une relation étroite entre

la formation de l'émeraude et la phase orogénique *Brasiliano* (Giuliani *et al.*, 1997a).

4.1 L'occurrence de Santana dos Ferros

Cette occurrence, appelée Ferros mais également connue sous le nom de Fazenda Bom Sossego, se situe à 160 km au Nord-Est de Belo-Horizonte (Fig. 3). Cunha (1961) donne une brève description du cadre géologique de l'indice. Il signale la présence d'un socle gneissique déformé et recoupé par des veines de pegmatites exploitées pour l'aigue-marine. L'émeraude est reliée à des filons de pegmatites ; elle se localise dans des schistes à biotite (de direction N75-90°E, pendage nord), Cunha (op. cit.) ne signale pas la présence de roches basiques associées au socle. Le filon principal possède une épaisseur de 3,5 m et les feldspaths sont fortement kaolinitisés. Le quartz de la pegmatite a été partiellement dissous par des fluides hydrothermaux et la pegmatite s'est enrichie en feldspath. L'émeraude est associée au quartz et à la biotite magnésienne.

4.2 Les gisements de Belmont, Capoeirana et Piteiras

Ces trois gisements se situent à 15 km à l'Est d'Itabira (Fig. 3). Le gisement de Belmont est situé à 5 km à l'ouest du garimpo de Capoeirana (Fig. 2).

Ces gisements se situent dans deux zones de chevauchement à vergence ouest, qui mettent en contact une série volcano-sédimentaire et un granite appelé "Borrachudos" qui comprend deux faciès (Schorscher et Guimarães, 1976; Souza et al., 1992): un faciès folié, voire mylonitique, riche en filons de pegmatite, en bordure de la série volcano-sédimentaire; un faciès lenticulaire composé de gros cristaux de feldspaths dans la partie interne du massif.

Les formations supracrustales appartiennent à la séquence du Supergroupe Minas définie par Schorscher et Guimarães (op. cit.), datée par la méthode U/Pb à 2125 Ma (Machado et al., 1989). Dans la région d'Itabira, la série volcano-sédimentaire se caractérise par une intercalation de métapélites (schistes à biotite et muscovite parfois grenat et staurotide), de roches ultrabasiques (schistes à talc, chorite et trémolite), de quartzites et de tufs. Le granite "Borrachudos" correspond à une partie du socle archéen (gneiss et migmatites du bloc de Gavião), qui a subi une intense mylonitisation et une altération potassique (feldspath potassique) au Protérozoïque (Schorscher et al., 1982). Ce granite contient des porphyroblastes de microcline et montre une foliation soulignée par la biotite et l'amphibole.

Sur la bordure de la zone de chevauchement orientale (mines de Capoeirana et de Piteiras), le granite est dépourvu de porphyroblastes et il est mylonitisé. Des filons de pegmatites à béryl (de style aigue-marine) et de pegmatites feldspathisées ("pegmatoïdes" décrits par Souza et al., op. cit.) se concentrent dans la zone de contact entre les gneiss et les formations supracrustales. L'ensemble est recoupé par des filons et veinules de quartz. Les circulations fluides responsables de la formation de l'émeraude ont été guidées par les structures chevauchantes à vergence ouest qui marquent le contact entre les deux unités géologiques principales.

A la mine Belmont, les schistes à talc, chlorite et chromite, de direction N-NE, ont une largeur de 750 à 1200 m. Ils sont recoupés par de nombreux filons de pegmatite. Le filon principal a une épaisseur de 10 mètres. Il est partiellement feldspathisé et l'émeraude se concentre dans les schistes à biotite magnésienne adjacents (Hänni et al., 1987; Schwarz, 1987).

A Capoeirana, les veines de pegma-

Actualités gemmologiques (suite)

tites sont moins épaisses (1 décimètre), dépourvues de quartz et totalement feldspathisées. Les filonnets de quartz sont prédominants et ils recoupent les gneiss et les formations supracrustales. Ils sont liés à un épisode de cisaillement qui a guidé l'infiltration hydrothermale. La métasomatose fissurale a provoqué le développement de biotite (biotitisation en masse, cristaux > 1 cm) des roches environnantes. Les taleschistes sont transformés en schistes à biotite magnésienne (les phlogopitites) où se concentre l'émeraude (Giuliani et al., 1997a). Dans les deux gisements, les roches à émeraude sont fortement microplissées et les pegmatites feldspathisées sont boudinées.

A Piteiras (Fig. 2), la minéralisation est située comme à Capoeirana sur la zone de chevauchement qui met en contact la série des supracrustales qui contient des roches ultramafiques riches en chrome et le granite "Borrachudos" (Kanis et al., 2001). Le gisement a été découvert et les réserves ont été définies en combinant systématiquement une prospection géologique (cartographie des roches à phlogopite e.g. les phlogopitites porteuses de l'émeraude) et géochimique (cartographie des anomalies en béryllium, chrome, vanadium des roches et des sols, entre autres) sur la zone comprise entre Belmont et Capoeirana. L'émeraude a alors été identifiée à la ferme Piteiras, et cartographiée en détail par 45 forages de 200 m de profondeur : 35 forages interceptent le niveau à émeraude appelé le "blackwall" et 18 autres contiennent des fragments d'émeraude. Le "blackwall" est une roche noire et foliée dont les minéraux les plus abondants sont l'amphibole verte (dominante) et le mica phlogopite. Cette domination "blackwall" est l'équivalent des schistes à biotite ou de la "phlogopitite", termes usités par divers auteurs (voir Schwarz et al., 2002).

Etat du Brésil	Mine	Numéro échantillon	8 ¹⁸ O émeraude (%, SMOW)	6 ¹⁸ O moyen par mine ou région (‰, SMOVV)	δD eau de l'émeraude (‰, SMOVV)	Teneur en eau de l'émeraude (% poids)	Références
Minas	Capoeirana	CAP14-1	6,3	6,2 ± 0,06	-40,0	2,57	1,2
Gerais		CAP14-2	6,2				1 7
		Fallick et al	6,2				3
	Itabira	Fallick et al.	7,0 ±0,3		-45,0 ± 2		3, com personnelle
	Santana dos Ferros	FER-1	7,9		-55,6	1,62	1,4
	Piteiras	Pit-1	6,65	6,8±0,1	-39,5	2,19	4
		Pit-2	6,9		-37,0	2,35	181
		Pit-3	6,9		-35,0	2,37	11
		Pit-4	6,7		-40,1	2,39	м
		Pit-5	6,9		-38,8	2,38	
		Pit-6	6,7		-30,1	2,36	
					-36,7 ± 4	2,34 ± 0,1	
	Quadrilatère Ferrifère			6,8 ± 0,5			
Bahia	Carnaiba	CAJ1	9,6	9,04 ± 0,4	-53,7	2,47	1,5
		BO-1	9,1				*
		TN-1	9,1				h h
		MA-1	8,8				
		CAB-1	8.8				-
		FOR-1	8,8				
		TV-1	9,1				
		LA-1	9,5				м.
		Fallick et al	8,5 ± 0,5		-52,0 ± 7		3, com personnel
	Socoto	SO18	10,9		-41 D	2,53	1,2
	50000	Fallick et al	10,4±05		-47,0 ± 9	2,00	3, com personnel
	Anagé	JU-7	6,8		-35,5	1,23	1,2
	Anage	PO-1	7,5		-28,1	2,78	1
Ceara	Coqui	CO-1	12,1		-41,3	2,40	
	Taua	FA8-3	8.4		-36,5	2,39	1,4
Goias	Itaberai	ITA-8	12,1		-35,4	3,16	1,2
	Pela Ema	PE-1	11,8		-34,8	2,88	1,2
	Pirenopolis	PIR-13	9,4		28,0	3,01	1,2
	Santa	STA-23-1	12,4	122±02	-36,1	3,13	1,2
	Terezinha	STA-23	12,0		-29,8	2,90	"
		STA-24-1	12,1		-34Д	3,00	
		STA-24-2	12,4		-30,0	2,53	h
	Porangatu	Fallick et al	11,8		-39,0 ± 5	2,00	6
Tocantins	Monte Santo	MS2	8,9		-41,4	2,94	4

Tableau I - Valeurs isotopiques de l'oxygène des cristaux d'émeraude (symbolisée par δ'''O), de l'hydrogène de l'eau contenue dans les canaux de l'émeraude (l'eau parentale de l'émeraude, symbolisée par δD) et la teneur en eau (% poids) des émeraudes du Brésil.

Table I; Isotope values for oxygen from the emerald crystals (symbolized by &10), for hydrogen from the water in the channels (the emerald parent water, symbolized by &0) and the water content (%weight) for Brazilian emeralds

5- Isotopes de l'oxygène et de l'hydrogène de l'émeraude : l'origine des fluides minéralisateurs

5.1 Les isotopes de l'oxygène et de l'hydrogène

Les compositions isotopiques de l'oxygène et de l'hydrogène de l'émeraude sont d'excellents traceurs géographiques (Giuliani *et al.*, 1998; 2000) et

géologiques (Giuliani, 1997; Groat *et al.*, 2002). L'oxygène est extrait de la structure du cristal (oxygène structural) et l'hydrogène est extrait de l'eau piégée dans les canaux du même cristal. Les procédures analytiques d'extraction et d'analyse sont détaillées par Giuliani *et al.* (1997; 1998). La composition isotopique, rapport d'abondance d'un isotope lourd (et rare: 180) sur un isotope léger (et abondant: 160), est généralement

exprimée par l'écart "8" (exprimé en pour mille, %6) entre les rapports isotopiques de l'échantillon et d'un standard, soit 818O = (180/16)O de l'échantillon / 180/16)O du standard) - 1 x 1000. Pour l'hydrogène, le rapport utilisé est 8D = D/H (exprimé en pour mille, %6). Pour l'oxygène et l'hydrogène, le standard international correspond à la valeur de l'eau de mer et est appelé SMOW (Standard Mean Ocean Water).

Six cristaux d'émeraude de la mine de Piteiras ont été analysés et comparés aux valeurs obtenues sur les autres émeraudes brésiliennes (tableau 1) et par ailleurs dans le monde. Les valeurs des six cristaux d'émeraude sont comprises entre 6,65 et 6,90 ‰ (moyenne $\delta^{18}O = 6,8 \pm 0,1\%$). La variation isotopique enregistrée pour ces émeraudes est insignifiante. Elle confirme à nouveau que la variation isotopique enregistrée sur une grande quantité d'émeraudes provenant d'une même mine est très limitée et ne dépasse que très rarement un écart de 1 à 1,5‰ (Giuliani et al., 1998).

Par ailleurs, ces valeurs s'intègrent parfaitement dans le domaine isotopique défini pour les émeraudes provenant des autres mines de la région (tableau 1): $6.2 \pm 0.06\%$ pour Capoeirana, 7.0% pour Belmont et par ailleurs du Quadrilatère Ferrifère : 7.9% pour Ferros. L'ensemble de ces valeurs établit, pour les émeraudes du Quadrilatère Ferrifère, une moyenne de $6.8 \pm 0.5\%$ (nombre d'analyses = 11).

La figure 8 montre que ces valeurs isotopiques sont les plus légères jamais mesurées pour les émeraudes brésiliennes. Elles sont comparables à celles définies pour les gisements d'Anagé (Etat de Bahia; $\delta^{18}O = 7.2 \pm 0.3\%$). Par ailleurs dans le monde, des valeurs comparables ont été mises en évidence pour les émeraudes des gisements d'Habachtal en Autriche ($\delta^{18}O = 7.03 \pm 0.25\%$, n= 15; Giuliani et al., 2001),

de Poona en Australie (δ^{18} O= 7,25 \pm 0,25%) et de Sandawana au Zimbabwe (δ^{18} O = 7,45 \pm 0,55%).

Pour les émeraudes brésiliennes, les valeurs isotopiques de l'oxygène se répartissent entre 6.2% pour Capoeirana et 12,2% pour Santa Terezinha (Fig. 8). Les études antérieures ont démontré que la composition isotopique de l'oxygène de l'émeraude était contrôlée (tamponnée) par la composition isotopique de la roche originelle qui la contient (Giuliani et al., 1997a, b). Ainsi, à Capoeirana et Piteiras, les roches encaissantes sont des roches ultramafiques e.g. type péridotites dont l'intervalle isotopique est compris entre 5.0 et 8.0% (moyenne $\delta^{18}O = 6.5\%$); Kyser, 1986), en conséquence les valeurs isotopiques des émeraudes sont les plus légères jamais rencontrées sur

Terre. Pour Santa Terezinha, les talcschistes carbonatés possèdent des valeurs supérieures à 12% et par conséquent les valeurs isotopiques des émeraudes sont plus lourdes. Pour les gisements d'émeraude strictement associés à la présence de pegmatites comme celles de Carnaíba dans l'Etat de Bahia $(\delta^{18}O=9.0\pm0.1\%e)$, l'effet tampon de l'oxygène est réalisé par la composition isotopique des deux roches qui contiennent l'émeraude, la pegmatite (δ18O compris entre 8 et 13% pour des pegmatites issues de magmas alumineux) et la roche mafique-ultramafique (δ^{IS}O compris entre 5,0 et 8,0%c).

Ces considérations géochimiques ouvrent le débat sur l'origine et la nature des fluides parents de l'émeraude pour les gisements de Piteiras et Capoeirana. Les isotopes de l'hydrogè-

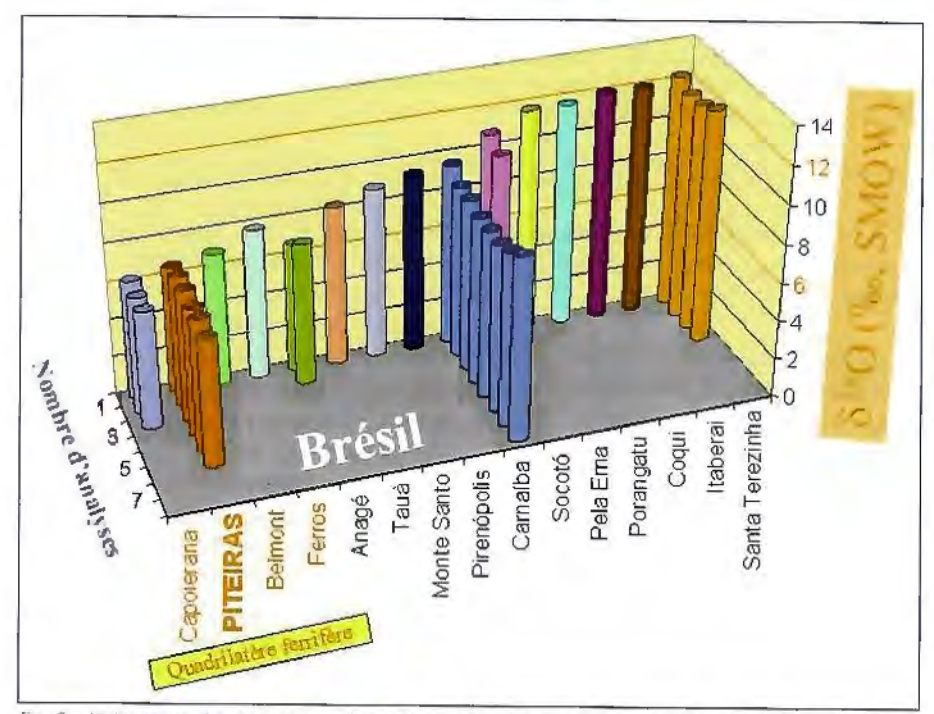


Fig. 8 Histogramme des rapports isotopiques de l'oxygène des émeraudes brésiliennes (6° 0, ‰ par rapport au SMOW). Les valeurs isotopiques obtenues pour les émeraudes de Capoeirana, Pitieiras et Belmont sont les plus légères au monde.

Oxygen isotopic ratio histogram of the Brazillan emeralds (δ '' O, ∞ relative to SMOW). The oxygen isotopic ratio obtained for the Capoeirana, Piteiras and Belmont emeralds are the lightest ever found in the world.

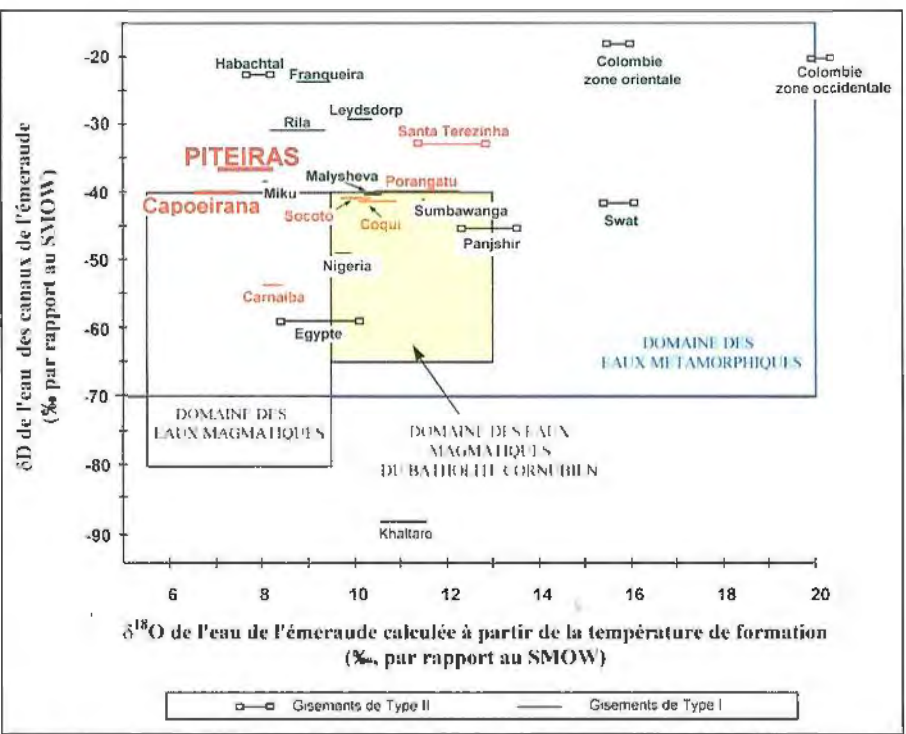


Fig. 9 Diagramme des compositions isotopiques de l'eau parentale contenue dans les émeraudes du Brésil et d'autres gisements mondiaux. Ces compositions permettent de préciser l'origine du fluide noumicier de l'émeraude. Les domaines magmatique et métamorphique définis suivant des données internationales sont également reportés. Le rapport isotopique δ0 de l'eau des canaux de l'émeraude correspond à la composition isotopique de l'eau contenue dans l'émeraude. Le rapport isotopique δ0 de l'eau de l'émeraude correspond à la valeur de la composition de l'oxygène de cette même eau calculée à partir des températures de formation de l'émeraude et de la composition isotopique de l'oxygène du cristal. Les températures sont obtenues par les études d'inclusions fluides. Les intervalles de températures utilisés pour chacun des gisements sont précisés dans Groat et al., (2002). Les températures de formation définies pour l'émeraude de Capoeirana (T = 450-650°C, Souza et al., 1992) ont été également utilisées pour l'émeraude de Piteiras. Les gisements de type I correspondent aux gisements associés spatialement à des pegmatites ; les gisements de type II correspondent aux gisements rectoniques bien identifiées.

Channel δ DH.O versus calculated δ^{II} OH.O (%, SMOW) diagram for samples of Piteiras and emeralds from other deposits in Brazil and in the world (data in Table 1 and in Groat et al., 2002). The field for the Piteiras emeralds is calculated for the temperature ranges given by the fluid inclusion study of Souza et al., (1992) on the Capoeirana deposit (T = 450-650°C).

ne et les températures de formation de l'émeraude vont nous permettre d'en débattre.

La signature isotopique de l'hydrogène de "l'eau structurale" c'est-à-dire de l'eau contenue dans les canaux du cristal (l'eau parentale de l'émeraude) pour les six cristaux de Piteiras, a des valeurs comprises entre -40,1 et -30,1% (moyenne de $\delta D =$ $-36.7 \pm 4\%$; tableau 1). Ces valeurs indiquent pour l'émeraude de Piteiras une contribution d'eau d'origine métamorphique et non pas d'origine magmatique (Fig. 9). Cet intervalle de valeurs intègre celle obtenue pour l'émeraude de Capocirana ($\delta D = -40\%$ o). La valeur obtenue pour l'émeraude de Ferros (δD = -55,6%) ne nous permet pas de trancher entre les deux origines possibles.

La teneur en eau des émeraudes de Piteiras est comprise entre 2,19 et 2,39% poids (Fig. 10). Ces teneurs sont comparables à celles mesurées pour Capoeirana (2,57% poids) mais bien différentes de celle de Ferros (1,62 % poids). La teneur en eau des canaux de l'émeraude est proportionnelle à la quantité de sodium incorporée dans ces mêmes canaux (Giuliani, 1997). Par ailleurs, la teneur en sodium est étroitement corrélée aux substitutions du magnésium et d'autres éléments de transition tels le chrome et le vanadium, avec l'aluminium dans le site octaédrique du cristal. Ainsi, plus la teneur en eau est élevée plus les teneurs soit en chrome et vanadium, soit en magnésium ou fer, seront élevées. La figure 11 nous permet de visualiser la variation de la teneur en eau des émeraudes de Piteiras avec celle des autres émeraudes répertoriées sur la planète. Les valeurs supérieures à 2% du poids en eau correspondent à des cristaux pour lesquels les substitutions (notamment celles concernant les chromophores de l'émeraude) dans le site octaédrique de la structure de l'émeraude sont importantes

5.2 Nature et origine des fluides parents de l'émeraude

L'étude des inclusions fluides primaires (IF) piégées par les émeraudes permet de caractériser leur fluide nourricier. Les études menées par Souza (1988, 1990) sur les émeraudes de Belmont et par Souza et al., (1992) sur celles de Capoeirana démontrent que les inclusions fluides sont identiques pour les deux gisements. Il est fort probable que les inclusions fluides primaires piégées par l'émeraude de Piteiras possèdent les mêmes caractéristiques (même contexte géologique, même association minérale et mêmes valeurs isotopiques pour les trois gisements).

A la température du laboratoire, les IF sont à trois ou plusieurs phases (respectivement tri- et multiphasées). Ce sont des inclusions appartenant au système H2O-CO2-NaCl avec des rapports du volume CO2/volume total de l'inclusion de l'ordre de 0,7. Les températures de fusion de la glace carbonique indiquent la présence d'autres éléments volatils dans la phase gazeuse qui n'ont pas été identifiés (méthane, azote ?). Les températures d'homogénéisation des IF sont comprises entre 320 et 520°C. La salinité du fluide est comprise entre 11,5 et 19% poids équivalent NaCl. Les conditions de piégeage du fluide sont estimées à une pression de 2 à 2,75 kilobars et à une température comprise entre 450 et 650°C.

Par ailleurs, les données microthermométriques obtenues sur les inclusions fluides piégées par les feldspaths (microcline) des granites "Borracchudos" (Fig. 2), situés au contact des gisements d'émeraude (Schorscher et Leterrier, 1980; fluides à H₂O-CO₂, pression: 1,5-2,5 kilobars et température: 350-450°C), montrent que ces fluides ne s'inscrivent pas dans le domaine pression-température défini par Souza et al., (1992) pour les émeraudes. Ainsi, ces deux phénomènes semblent totalement déconnectés temporellement.

Ces résultats sont confortés par les données isotopiques qui démontrent que les fluides en équilibre avec l'émeraude pour les températures définies par Souza et al. (1992) soit 450 < T < 650°C, sont d'origine exclusivement métamorphique pour Piteiras et sans aucun doute pour Capoeirana (Fig. 9). Les granites et les pegmatites n'ont joué aucun rôle dans la formation de l'émeraude. Cette conclusion est similaire à celles obtenues pour la genèse des émeraudes de Coqui (Etat du Ceará), Porangatu et Santa Terezinha (Etat du Goiás) ainsi que celles de Socotó (Etat de Bahia).

En effet, l'association d'une "pegmatite" (au sens large) et d'une émeraude ne signifie pas que le fluide parent de l'émeraude soit obligatoirement d'origine magmatique. Dans quasiment tous les exemples étudiés, les pegmatites ont subi une forte altération chimique induite par la circulation de fluides soit contemporains, soit postérieurs à leur mise en place. Ces fluides sont le plus d'origine souvent métamorphique comme par exemple ceux associés à l'émeraude de Rila en Bulgarie (Alexandrov et al., 2001), de Franqueira en Espagne ou de Leydsdorp en Afrique du Sud (Fig. 9). Ils provoquent la remobilisation des éléments chimiques contenus dans la pegmatite et très souvent du béryllium.

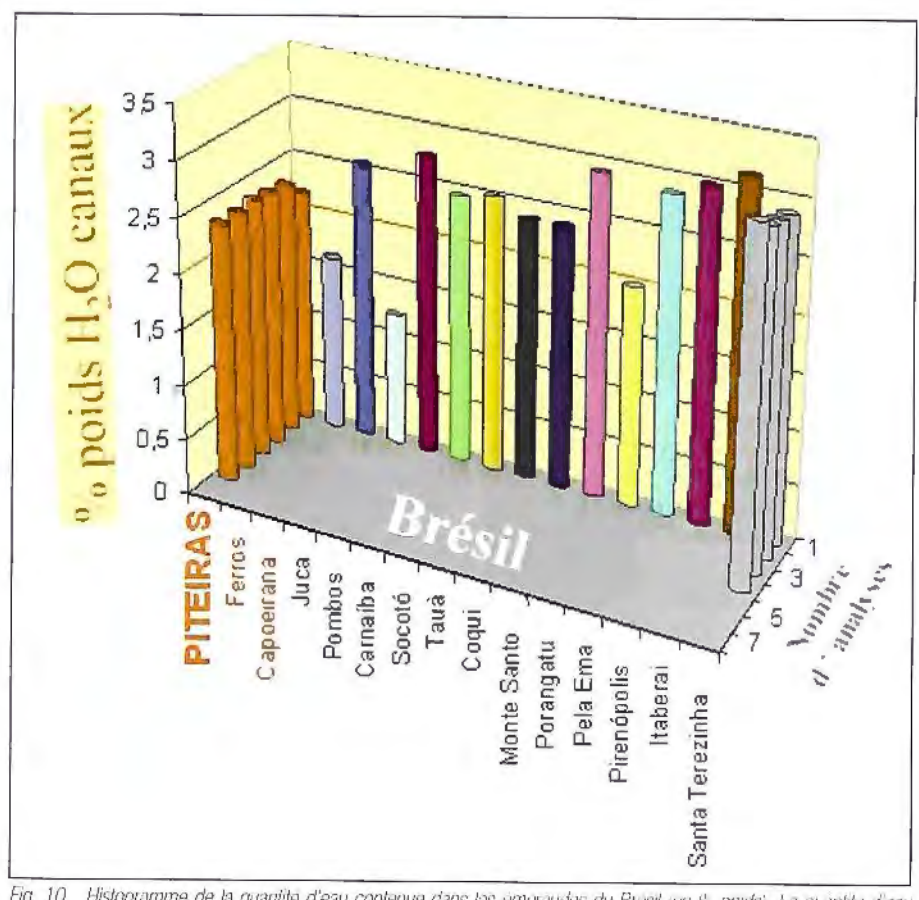


Fig. 10. Histogramme de la quantité d'eau contenue dans les emeraudes du Bresil (en % poids). La quantite d'eau contenue dans les inclusions fluides observables sous le microscope est nogligeable. Elle represente à peu près 0.1% poids de la quantité totale de l'eau totale contenue dans une emeraude. Pour toutes nos experiences, cette eau a été préalablement eliminée par décrépitation, à 550°C, des inclusions fluides.

Histogram of the water content in Brazilian emeralds (in weight %). The amount of water from fluid inclusions is negligible (about 0,1 % of the water).

La typologie proposée par Giuliani et al., (1997a), fondée sur la présence ou l'absence de pegmatites granitiques, repose sur les associations pétrologiques observées sur le terrain mais elle ne possède aucune connotation génétique. Seules les données d'isotopes stables de l'oxygène, de l'hydrogène et du soufre sur l'émeraude et/ou de ses minéraux accompagnateurs (phlogopite, pyrite, molybdénite par exemple), couplées aux températures de piégeage des fluides obtenus par l'étude des inclusions fluides, permettront de certifier l'origine parentale des fluides de

l'émeraude (magmatique, métamorphique ou de mélange).

Dans les exemples de Piteiras, de Capocirana et d'Itabira les fluides sont strictement d'origine métamorphique même si des pegmatites sont spatialement et/ou directement associées à l'émeraude. Ces fluides ont circulé à la faveur de décollement liés à l'orogenèse *Brasiliano* (508 millions d'années) ; ils ont altéré des roches mafiques d'âge protérozoïque et des pegmatites d'âge inconnu (Fig. 12). Ces interactions entre fluides et roches ont provoqué la mobilisation locale du chrome, magné-

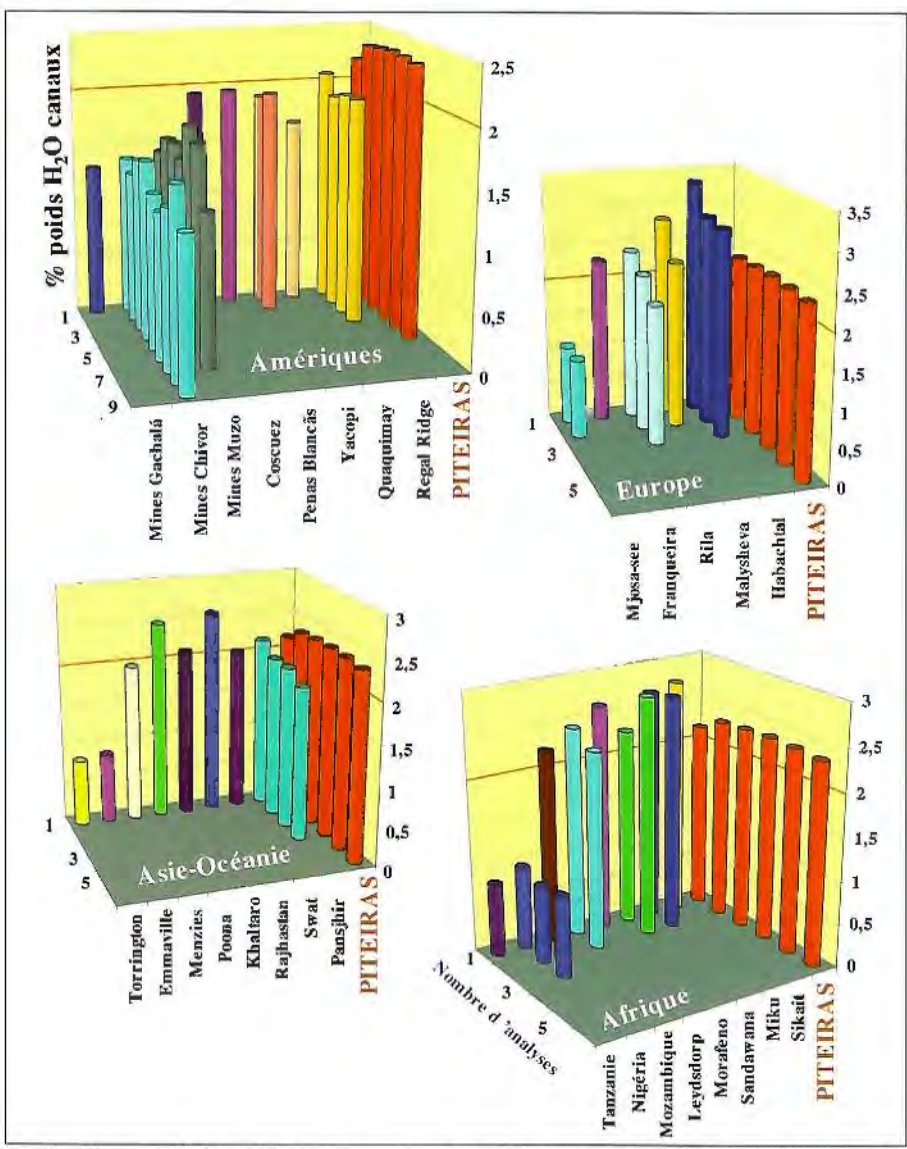


Fig. 11 - Histogramme de la quantité d'eau contenue dans la plupart des émeraudes connues au monde. Dans chaque histogramme, les émeraudes de Piteiras sont reportées en référence. Le détait des données est précisé dans Groat et al., (2002). Histogram of channel water content for different emeralds worldwide. For each histogram, the Piteiras emeralds are reported for comparison. The data are detailed in Groat et al., (2002).

sium, fer et vanadium contenus dans les roches ultramafiques. Par le manque de traceurs géochimiques et isotopiques, la source du béryllium sera toujours débattue : locale par mobilisation de cet élément dans des pegmatites ou distale par la fusion partielle de la croûte inférieure avec expulsion de fluides riches en béryllium migrant à la faveur de grands

cisaillements et de décollements.

6- Caractéristiques gemmologiques des émeraudes de Piteiras

L'étude des caractéristiques gemmologiques des émeraudes de Piteiras a été effectuée sur un échantillonnage d'une centaine d'échantillons, 12 facettés, le reste brut. Les indices mesurés s'inscrivent dans une fourchette de 1.580 - 1.587 à 1.589 - 1.591, un échantillon présentant un indice de 1.580 - 1.591 et la biréfringence la plus élevée de l'échantillonnage étant : 1,1%. La masse spécifique, dite "densité", est comprise entre 2.653 et 2.794. Aucune luminescence sous rayonnement ultraviolet n'a été constatée, aussi bien aux UVL qu'aux UVC.

Les nuances de vert présentées par les émeraudes de Piteiras s'inscrivent dans la variation habituelle des émeraudes du Brésil. Le pléochroïsme est moyen à prononcé. La couleur y est souvent distribuée en zonations, soit par changement de couleur (vert et vert-jaune ; Fig. 13), soit par variation d'intensité (vert vert pâle; Fig. 14). Comme on peut s'y attendre, ces zonations sont globalement toujours parallèles aux faces du prisme. Deux échantillons montrent des discrètes zonations perpendiculaires à l'axe optique. Au chapitre des zonations, on notera que les cristaux opaques à translucides de Piteiras présentent régulièrement à leur périphérie et parallèlement aux faces du prisme des couches gemmes, souvent multiples, montrant des alternances de teinte et/ou d'intensité de couleur (Fig. 15). Ces couches gemmes reprennent l'orientation des faces du prisme mais peuvent, lorsqu'elles se répètent, montrer des écarts d'orientation les unes par rapport aux autres. Cet écart peut atteindre 15 à 20° d'arc entre deux couches. Les écarts constatés ne modifient que l'angle formé entre deux faces du prisme, les couches restant parallèles à l'axe optique. Ils peuvent être imputés à des cycles de croissance après dissolution.

Les cristaux d'émeraude de Piteiras sont de très classiques prismes du premier ordre, avec quelques faces pyramidales. Ceci confirme que ces cristaux sont passés par des cycles de croissance puis dissolution, les faces pyramidales apparaissant à la reprise de la croissan-

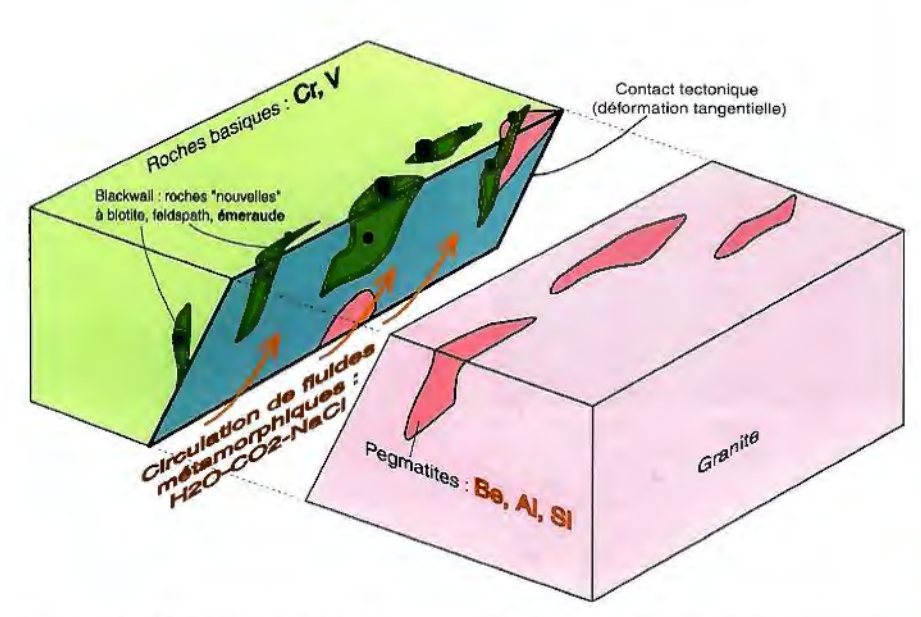


Fig. 12 - Schéma génétique propose pour la formation des émeraudes de Piteiras-Capoeirana Belmont. Les fluides hydro thermaux, d'origine métamorphique (flèches rouges), circulèrent durant l'orogenèse Brasiliano (il y a 508 millions d'années) suivant le plan de contact (zone tectonique majeure de la région) entre des granites détormés (dont les pegmatites contiennent du béryllium) et des roches basiques (niches en chrome et vanadium). Les fluides en réagissant avec les deux roches mettent en solution tous les éléments chimiques nécessaires à la cristallisation de l'émeraude (Be, Al [Cr. V. Mg. Fe, Na, H.O. etc. ...], Si, Oi. Le résultat final de cette interaction fluide-roche est la production de nouvelles roches qui peuvent contenir l'émeraude à savoir des feldspathites (anciennes pegmatites dont le quartz a éte dissous et remplacé par du feldspath) et des schistes à phiogopite (l'équivalent du blackwall ou des schistes à phiogopite ou des phiogopities de certains auteurs) qui se sont formés à l'insu des roches basiques.

Schematic diagram of the formalion of the Piteras-Cappeirana-Belmont emeralds. The hydrothermal fluids, metamorphic in origin (red arrows), percolated during the Brasiliano orogenesis (508 millions years ago) at the tectonic interface between the deformed granites (which contain Be-bearing pegmattes) and basic rocks containing chromium and vanadium. The fluids interacted with both rocks and the resulting solution contained all the elements necessary for emerald crystallization (Be, Al [Cr, V, Mg, Fe, Na, H O, etc...], Si, O). Emerald crystallized in feldspathites (rock resulting from the transformation of the pegmatife by dissolution of quartz and feldspar precipitation) and in biotite schists (called also blackwall or phlogopite schist or phlogopite).

ce après dissolution (Sunagawa et Urano, 1999). La morphologie de quelques cristaux que nous avons reçus n'est pas très "lisible". Tous présentaient des marques d'imbrication avec d'autres cristaux d'émeraude ou avec l'environnement. Les quelques faces propres observées étaient marquées d'empreintes de cristaux de phlogopite (Fig. 16). Un certain nombre de marques de dissolution de faible relief et/ou de croissance inachevée (Fig. 17) est visible.

Inclusions fluides: Les cavités des émeraudes de Piteiras contiennent toutes des phases liquides, gazeuses et solides. Elles se subdivisent en trois catégories morphologiques.

Première catégorie: Cavités d'apparence rectangulaire plus ou moins épaisses à quasi cubiques (Fig. 18). Ces cavités sont généralement présentes dans des domaines relativement restreints, en groupes de quelques individus à plusieurs dizaines. Ce sont les plus fréquentes. Elles contiennent trois phases (solide, liquide et gazeuse) (Fig. 19). La phase solide est représentée par plusieurs espèces minérales anisotropes en lumière polarisée. On y rencontre souvent un minéral isotrope dont la morphologie rappelle la sylvite. Soumise à la chaleur, la libelle de CO2 disparaît à 29°C sous l'effet de la dilatation

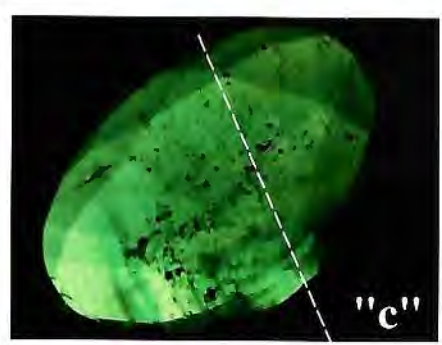


Fig. 13 - Les pierres de couleur pâle montrent des zonations vertes et vert-jaune marquées. Diascopie, immersion, 10x. Photo Gerntechlab.

Lightly-colored stones have marked green to yellow green zonations. Diascopy, immersion, 10x.



Fig. 14 - Interface d'une zonation de couleur de type verf-vert pâle. Diascopie, 50x. Photo Gemtechlab. Green to pale green zonings. Diascopy, 50x.



Fig. 15 - Certains costaux pas ou peu transparents présentent à leur périphèrie et parallèlement aux faces du prisme des couches gemmes, souvent multiples, montrant des alternances de teinte et/ou d'intensité de couleur Sur ce cliché, le groupe de couches externes (à droite) ne présente pas tout à fait la même orientation que la précédente dont elle est séparée par une zone non gemme. Diascopie, lumière polarisée (//), 20x. Photo Gemtechlab.

Some crystals that are little or not transparent have gem layers at their periphery, parallel to the prism faces. Those gem layers are often many, with varied nuances and intensity of color. In this picture, the external group of layers is not strictly parallel to the previous one, from which it is separated by a non-gem layer. D'ascopy, polarized light (//), 20x.



Fig. 16. Emprente d'un cristal de phlogopite à la surfa ce d'une emeraude de Piteiras. Lumière reflechie, 120s, Photo Gemtechlab.

Cast of a phlogopite crystal on the surface of a Piteiras emerald. Reflected light, 120x.



Fig. 17 - Pinacoide (UO1) avec tigures de dissolution. Episcopie, 30x. Photo Gemtechlab. Basal face (OO1) with each patterns. Episcopy, 30x.

du CO₂ liquide. Ces cavités peuvent ne pas contenir de phases solides. Lorsque ces cavités sont clairement rectangulaires, elles peuvent s'orienter selon deux directions se croisant à 90°. Ces pseudo directions ne sont probablement que deux directions "d'allongement" des cavités (Fig. 20).

Deuxième catégorie : Canaux très fins. d'un diamètre de 3 à 7 μm pour une longueur de 30 à 600 μm, orientés selon l'axe optique.

Ces canaux peuvent être réguliers (Fig. 21) ou fusiformes, présentant alors toujours un épaississement correspondant à la présence d'inclusions solides (Fig. 22). A partir du segment épaissi, le canal se rétrécit et s'achève

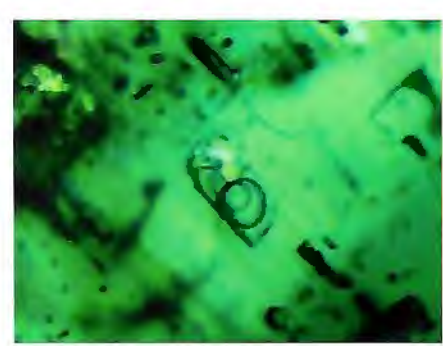


Fig. 18 - Les ameraudes de Piteiras presentent souvent des domaines comportant une grande densité d'inclusions multiphases. Ces inclusions sont généralement de morphologie plus ou moins rectangulaire, Elles contiennent un ou plusieurs solides de l'eau (ou saumure) et du CO liquide et gazeux. Diascopie, immersion, lumière polansee (®), 100x. Photo Gemtechlab.

Piteiras emeralds often contain domains with large number of multiphase inclusions. These inclusions are typically almost rectangular. They contain one or more solids, water for briner and liquid and gaseous CO. Diascopy, immersion, polarized light (St. 100x.

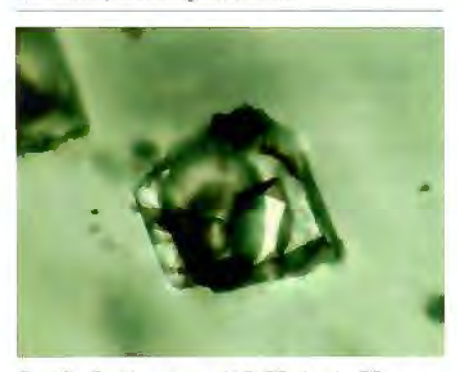


Fig 19 - Cavité contenant H O, CO liquide, CO gazeux et un solide qui malgre sa ressemblance apparente avec du quartz est un feldspath. Lumière polarisée (//), 500x. Photo Gemtechlab

Cavity containing H O, liquid CO , gaseous CO and a solid which is a feldspar despite its quartz appearance. Polarized light; (//), 500x.

en pointe légèrement arrondie.

Ces canaux sont toujours rectilignes et ont un "point de départ" sous la forme d'une inclusion minérale qui le génère par "effet d'ombre" (blocage ponctuel de la croissance). Ils contiennent des séquences multiples de phases (Fig. 21). On peut observer jusqu'à une trentaine de changements de phase le long d'un même canal.

Au sein d'un même échantillon, les rapports volumiques H₂O / CO₂ liquide peuvent varier de 1 à 4. Toujours à température égale et dans un même échantillon, le rapport volumique CO₂ gazeux / CO₂ liquide peut varier de 0.03 à 1 (Fig. 23).

Troisième catégorie: Cavités de forme rectangulaire mais très plates (Fig. 24).

Elles contiennent les mêmes phases que les autres cavités. On les reconnaît à la courbure prononcée de l'interface H₂O (convexe) / CO₂ liquide (concave). Ce type de cavité est plus rare.

Inclusions solides: Nombre d'inclusions se retrouvent dans les émeraudes de Piteiras. Cette variété obère quelque peu la possibilité de caractériser cette origine de manière tout à fait fiable sur la base de leur examen. Néanmoins, la nature et les caractéristiques morphologiques de certaines d'entre elles peuvent, dans certains cas, représenter un indice non négligeable.

Les émeraudes de Piteiras contiennent de la pyrrhotite sous forme de fins feuillets (Fig. 25) formant parfois des dendrites. D'autres dendrites de couleur brune sont visibles (Fig. 26), il s'agit fort probablement de produits d'altération de pyrrhotite (*i.e.* pyrrhotite -> pyrite -> pseudormophose en limonite).

D'une manière caractéristique pour le

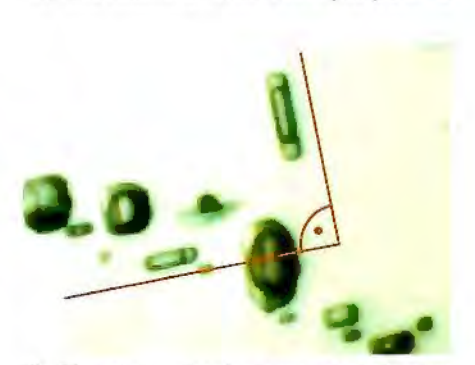


Fig. 20 - Inclusions allongées montrant deux orientations se croisant à 90°. Diascopie, 400x. Photo Gemtechlab. Elongated inclusions with two principal orientations at right angle. Diascopy, 400x



Fig 21 - Inclusion multiphase à séquences complexes dans un canal, dans l'ordre, de gauche à droite; H.O - trois solides - CO-liquide - CO-gazeux - CO-liquide - H.O - CO-liquide - H.O - CO-liquide - H.O - CO-liquide - H.O - CO-liquide - H.O. Diamètre du canal: Ø 6 μm, Diascopie, lumière polarisée (//), 400x. Photo Gemtechlab.

Multiphase inclusion with a complex sequence in a channel, from left to right: H.O - three solids - liquid CO, - gaseous CO. - liquid CO. - H.O - two solids - gaseous CO. - H.O - liquid CO. - gaseous CO. - liquid CO. - H.O. 6 μm diameter channel. Diascopy, polarized light (//), 400x.

gisement de Piteiras, on rencontre régulièrement de l'albite sous diverses formes. Ainsi certaines cavités sont entourées de domaines présentant des petits cristaux d'albite d'apparence grenue et légèrement arrondie (Fig. 27). L'albite se rencontre aussi sous forme de voiles formés de petits cristaux (Fig. 28). La morphologie de ce minéral au sein des émeraudes de Piteiras est donc variable et peut prendre d'autres apparences. La plus fréquente est celle de masses incolores de morphologie indistincte (Fig. 29). Dans ce cas, l'albite a été identifiée par spectrométrie Raman (Fig. 30). On la retrouve également sous la forme de cristaux incolores bien formés pouvant être complètement pris dans la masse (Fig. 31 et 32). La figure 33 présente un cristal d'albite extrait d'une émeraude de Piteiras. La figure 34 y montre, en lumière polarisée, les couleurs du premier, deuxième et troisième ordre provoquées par les inclusions de l'albite.

Les figures 35 et 36 représentent un cristal d'actinolite. Sous cette morpho-

logie, c'est une inclusion peu courante, mais connue de l'émeraude. On la rencontre notamment au Pakistan (à Charbagh et Khaltaro, Gübelin E. in Kazmi A.H. et al., 1989). Détail intéressant, elle y est décrite comme étant associée à des masses blanchâtres et irrégulières d'albite. Ce spécimen de Piteiras présente, en lumière polarisée, une couleur jaune orangé du deuxième ordre pour une épaisseur de 150 µm. Les conditions de stabilité de l'actinolite en termes de pression et température (< 540°C; < 3 kbar) s'inscrivent dans les valeurs rencontrées à Piteiras (± 450-650°C; 2-2.75 kbar).

7- Analyses chimiques

Les analyses à dispersion d'énergie ont été effectuées sur un microscope électronique à balayage (MEB) JEOL-5800LV, équipé d'un détecteur à dispersion d'énergie PGT (Princeton Gamma Tech) IMIX-PTS, à l'Institut des Matériaux Jean Rouxel à Nantes. Ce détecteur utilise un cristal

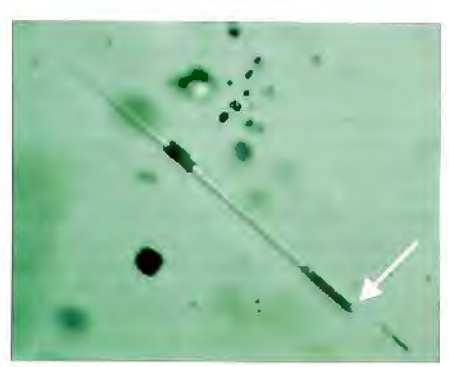


Fig. 22 - Canal fusiforme contenant des phases solides, liquides et une phase gazeuse. En bas à droite se trouve une phase solide, incolore (flèche), qui a provoque la création du canal par "effet d'ombre". Dimensions du canal: Ø 6 µm / L 294 µm. Diascopie, lumière polarisée (//), 400x, Photo Gemtechlab.

Elongated spindle-shaped channel with several solid and liquid phases and one gaseous phase. At the bottom right is a cotorless solid inclusion (arrow) which created the channel as a result of growth blockage. \varnothing 6 μ m / L 294 μ m. Diascopy, polarized light (//), 400x.



Fig. 23 - Dans un même échantillon et à température égale, le rapport des volumes occupés par les deux phases du CO- n'est pas constant. Si, souvent, la phase gazeuse forme de petites libelles représentant de 3 à 5% du volume de la phase liquide, certains canaux comme celui-ci présentent un rapport des deux phases plus ou moins égal à 1. De gauche à droite : Solide - H.O - solides - H.O - CO- liquide avec une grande libelle de CO- gazeux (l'éche) - H.O - CO- liquide. Dimensions du canal : Ø 7 μm / L 263 μm. Diascople, lumière polarisée (//), 400x. Photo Gemtechlab.

In the same sample and at the same temperature, the ratio of the volume occupied by the two phases of CO2 is not constant. If often the gaseous phase forms small bubbles representing about 3 to 5% of the liquid phase, some channels, such as the one in the picture, have a ratio of about 1. From left to right: : Solid - H.O - solids - H.O - liquid CO. - H.O - liquid CO. with a large bubble of gaseous CO. (arrow) - H.O - liquid CO. channel dimensions: \varnothing 7 μm / \bot 263 μm . Diascopy, polarized light $\langle I/I\rangle$, 400x.



Fig. 24 - Cavité allongée et plate contenant de gauche à droite: quatre solides dans du CO: liquide H.O - CO: liquide avec libelle de CO: gazeux. Dimensions: 9 µm / 96 µm. Diascopie, lumière polarisée (⊗), 500x, Photo Gemtechlab.

Flat elongated cavity containing (from left to right); four solids in liquid CO. + H.O - liquid CO. with gazeous CO., Dimensions: 9 μm / 96 μm , Diascopy, polarized light (\otimes), 500x.



Fig 25 - Inclusion de pyrrhotite de morphologie feuille tée. Episcopie, 50x. Photo Gemtechlab Follated pyrrhotite inclusions. Episcopy, 50x

de Ge "haute résolution" (115 eV) et une fenêtre ultrafine en polymère. Le MEB opère avec une tension d'accélération de 20 kV, un courant d'1 nA, et un angle de vue du détecteur de 37°. Les résultats sont présentés dans le tableau I. Des analyses ont été effectuées sur deux émeraudes jugées typiques de la production (Tableau II).

Les teneurs relativement élevées et à peu près homogènes sur un échantillon de sodium (Na) et magnésium (Mg) sont typiques des émeraudes naturelles (Stockton, 1984). La teneur en fer (Fe) est forte (ce qui est normal puisque le gisement est situé dans le Quadrilatère Ferrifère), et suffisante pour éliminer toute fluorescence. L'élément chromophore principal détecté est le chrome (Cr), le fer n'intervenant dans la couleur que dans



Fig. 26 - Inclusion dendritique. Diascopie, 50x. Photo Gemtechlab. Dendritic Inclusion. Diascopy, 50x.



Fig. 27 - Certaines cavités sont entourées de cristaux d'albite, d'apparence partiellement dissuus, formant des domaines turbides. Diascopie, turnière polarisée (⊗), 30x. Photo Gemtechlab.

Some cavities are surrounced by albite cystals of partially dissolved appearance, creating a turbid field. Diascopy, polarized light (<a>>), 30x.



Fig. 28 Petits cristaux d'albite formant un voile. Diascopie, lumière polarisée (//), 400x. Photo Gemtechiab. Small albite crystals forming a veil. Diascopy, polarized light (//), 400x.

une très faible mesure. Le vanadium (V) est absent de tous nos échantillons.

8. Analyses de spectrométrie d'absorption

Spectrométrie infrarouge à transformée de Fourier (IRTF)

Les spectres réalisés mettent clairement en évidence la présence du CO₂ par les absorptions à 2358 et 2292 cm⁻¹. Pour le rayon extraordinaire, l'absorption à 2358 cm⁻¹ est souvent masquée par l'absorption structurelle de l'émeraude, c'est donc dans le rayon ordinaire que l'on voit le mieux cette absorption. Inversement, l'autre absorption du

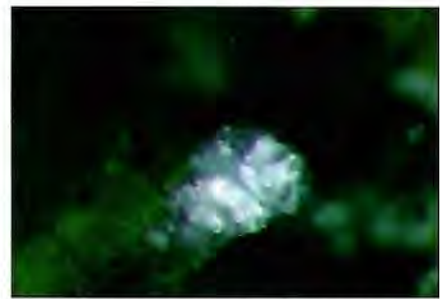


Fig. 29 Inclusion d'albite incolore de morphologie Indistincte. Episcopie, 160x. Photo Gemtechiati. Colorless albite inclusion of Indistinct morphology. Epscopy, 160x.

CO₂ à 2292 cm⁻¹ s'observe dans le rayon extraordinaire. Cette absorption très fine nous rend compte d'une teneur élevée de CO₂ ce qui est présentement le cas

L'eau moléculaire se manifeste dans deux régions du spectre : vers 3400 – 4000 cm¹ il y a une très forte absorption de l'eau moléculaire contenue dans les inclusions fluides ; et à 5275 cm¹ (1895 nm) une absorption fine correspondant à l'eau moléculaire de type II, liée aux alcalins (ce qui est normal puisque les analyses chimiques montrent une concentration élevée en alcalins ; Fig. 37).

Pour les laboratoires, la spectrométrie infrarouge est un outil efficace pour identifier les substances utilisées dans le cadre du remplissage des fis-

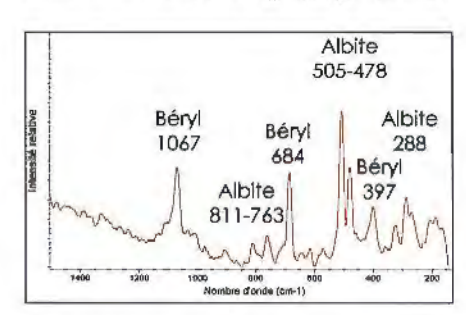


Fig. 30 - Spectre FT-Raman d'une inclusion d'aibite incolore de morphologie indistincte (voir Fig. 29). FT Raman spectrum of a colortess albite inclusion of indistinct morphology (see Fig. 29).

Eléments	Em1 %poids	Em1 %pds oxyde	Em2 % poids	Em2 % pds oxyde
0	42,29	0,00	42,08	0,00
Na	1,06	1,43	1,17	1,58
Mg	1,10	1,82	1,19	1,97
Al	8,09	15,29	7,90	14,93
Si	29,65	63,43	29,52	63,15
V	0,00	0,00	0,00	0,00
Cr ,	0,21	0,31	0,16	0,23
Fe	0,44	0,57	0,56	0,72

Tableau II - Analyses chimiques de deux émeraudes typiques de Piteiras. Le total n'atteint pas 100% puisque l'on ne mesure ni le béryllium, ni l'eau.

Table II: Chemical analyses of two typical Piteiras emeralds. The total does not reach 100% since beryllium or water are not measured.



Fig. 31 - Cristal d'albite (160 µm) avec des inclusions montrant des couleurs d'interférence du premier ordre (orange). Diascopie, lumière polarisée (⊗), 400x. Photo Gemtechlah

Albite crystal (160 μm) with inclusions showing firstorder interference colors (orange). Diascopy, polarized light (⊗), 400x



Fig. 33 - Cristal d'albite dans l'émeraude. Episcopie, 35x. Photo Gemtechlab.

Albite crystal in the emerald, Episcopy, 35x.



Fig. 32 - Cristal d'albite prolongé (à droite) par une cavité contenant du CO liquide. La longueur apparente de l'albite est parallèle à l'axe "c" de l'émeraude. Diascopie, lumière polarisée (⊗), 400x. Photo Gerntechlab.

Abite crystal prolonged (right) by a cavity containing liquid CO. The elongation of the albite crystal is parallel to the emerald "c" axis. Diascopy, polarized light (%), 400x

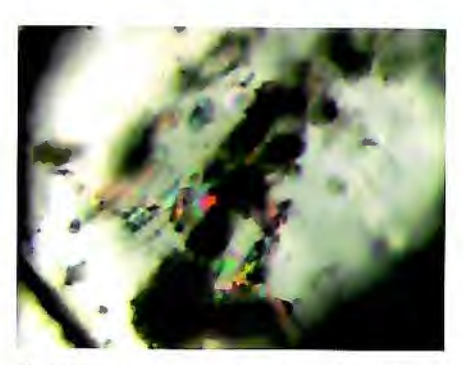


Fig. 34 - Inclusions du même cristal d'albite. Diascopie, immersion, lumière polarisée (⊗), 100x. Photo Gemtechlab.

Inclusions of the same albite crystal. Diascopy, immersion, polarized light (©), 100x.



Fig. 35 - Actinolite prismatique dans une emeraude de Piteiras. Diascopie, 100x. Photo Gemtechlab. Prismatic actinolite in an emerald from Piteiras, Diascopy, 100x.



Fig. 36 Extrémité du cristal d'actinolite montrant des reliefs tétraédriques formés de faces (011) et (110). Diascopie, lumière polarisée (⊗), 400x. Photo Gemtachlab. Termination of the actinolite crystal, showing tetrahedral reliefs formed by {011} and {110} faces. Diascopy, polarized light (⊗), 400x.

sures d'émeraudes. Pour les échantillons que nous avons reçus, les bruts qui provenaient directement de l'exploitant sans passer par les lapidaires ne contenaient que de l'huile (absorptions à 2850 > 2870, 2929, 2953 cm²). Par contre, les échantillons taillés contenaient des résines synthétiques (absorptions à 2850 < 2872, 2927, 2965, 3038, 3056 cm²; Fig. 38).

Spectrométrie d'absorption UV-Visible

Le spectre en lumière polarisée obtenu est typique des émeraudes riches en fer. On y retrouve les absorptions vers 375 et 389 nm liées au Fe³⁺ (typique de certaines héliodores) et la bande large centrée dans le proche infrarouge liée

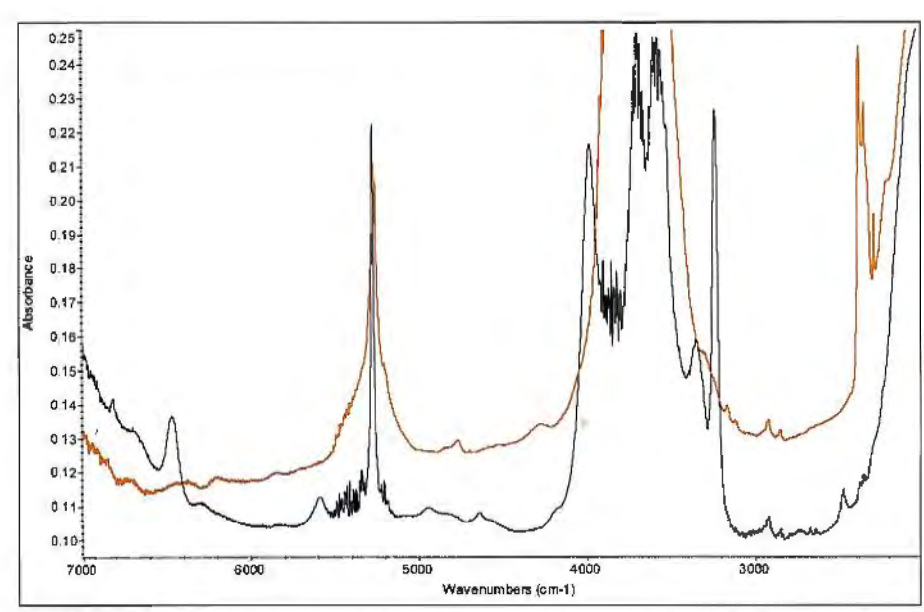


Fig. 37 - Spectre infrarouge polarise d'une émeraude de Piteiras (faisceau 1. "c"). En rouge : rayon extraordinaire ; en bleu : rayon ordinaire.

Piteiras emerald infra-red spectrum (beam ± "c"). Red: extraordinary ray, blue: ordinary ray,

au Fe²⁺ (typique des aigues-marines) qui explique l'augmentation de l'absorption vers l'infrarouge. Ceci s'ajoute bien sûr aux absorptions du chrome (Cr³⁺) pratiquement pures, puisqu'il n'y a pas de vanadium (voir Fritsch *et al.*, 2002; Fig. 39).

Conclusion

Les émeraudes de Piteiras sont des émeraudes typiques du Quadrilatero Ferrifero, présentant des caractères géologiques, gemmologiques et isotopiques semblables à celles de Capoeirana ou Belmont, qui

l'entourent géographiquement. Elles se distinguent par un $\delta^{18}O$ compris entre 6,65 et 6,90 % (moyenne $\delta^{18}O = 6,8 \pm 0,1\%$), la plus légère des valeurs mesurées dans les émeraudes brésiliennes. L'étude des inclusions fluides et des isotopes de l'hydrogène pour l'eau des canaux démontre que la nature des fluides est strictement métamorphique, même si des granites sont au contact de la minéralisation.

Du point de vue gemmologique, rien ne les distingue fondamentalement des émeraudes classiques. Ce sont des émeraudes strictement chromifères et ferrifères, sans vanadium. Leur indice de réfraction se situe dans les valeurs relativement élevées de l'émeraude en raison de leur teneur en fer, chose habituelle pour les émeraudes brésiliennes. Les inclusions qu'on y rencontre représentent l'éventail des inclusions typiquement représentées dans les émeraudes des autres gisements brésiliens hormis quelques particularités énoncées plus haut (albite présente sous différentes morphologies ; présence d'actinolite prismatique ; séries longues et complexes de phases dans les canaux et térnoins en phases uniquement liquides et gazeuses du système H₂O-CO₂-NaCl dans la totalité des cavités).

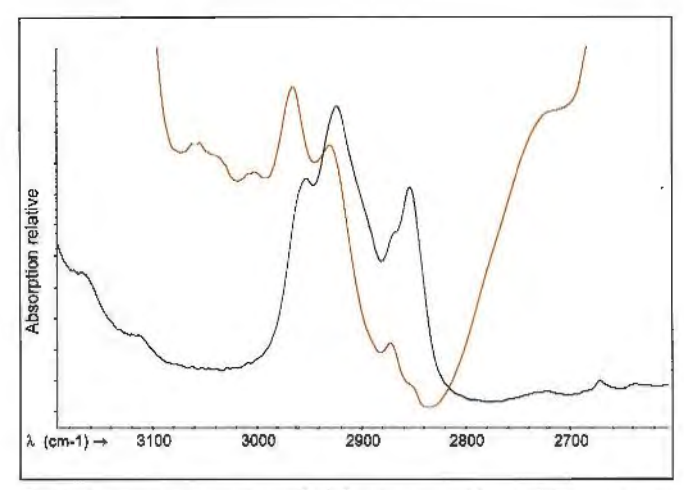


Fig. 38. Speatre infrarouge d'un brut huilé (blau) et d'une pierre taillée avec résine epoxy (rouge). Infrared spectrum of an oiled rough (blue) and of an epoxy filled faceted stone (red).

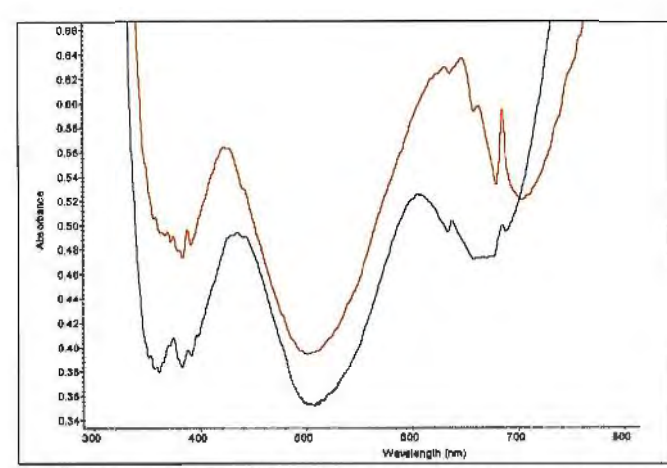


Fig. 39 · Spectre UV VIS polarisé d'une émeraude de Piteiras (faisceau ± "c"). En rouge rayon extraordinaire; en bleu : rayon ordinaire.

Piteiras emerald UV-VIS spectrum (beam ± "c"). Red: extraordinary ray; blue: ordinary ray.

Références bibliographiques

Alexandrov P., Giuliani C., Zimmermann J-L (2001). "Mineralogy, age and fluid geochemistry of the Rila Emerald deposit, (Bulgaria)". Econ. Geol., 96, 1469-1476.

Almeida F.F.M., Hasai Y., Brito Neves B.B., Fuck R.A. (1981). "Brazilian structural provinces: an introduction". Earth Sci. Rev., 17, (1-2), 1-29.

Bastos F.M. (1981). "Emeralds from Itabira, Minas Gerais, Brazil". The Lapidary Journal, 35, 9, 1842-1848.

Bertrand J.M., Jardim de Sá E.F. (1990). "Where are the Eburnian-Transamazonian collisional belts?". Can. J. Earth Sci., 27, 1382-1393.

Brito Neves B.B., Cordani U.G. (1991). "Tectonic evolution of South America during the late Proterozoic". Precumbrian Res., 53, 23-40.

Cunha O.L. (1961). "Esmeralda da Fazenda do Sossego, Santana dos Ferros, Minas Gerais, Brasil". Gemologia, Ano VII, 9-14.

Deer W.A., Howie R.A., Zussman J., (1993 reprint), An Introduction to the Rock Forming Minerals, 2nd edition, Longman Sci.&Tech., Harlow, Essex, England, 696 p.

Epstein D.E. (1989). "The Capoeirana emerald deposit near Nova Era. Minas Gerais, Brazil", Gems and Gemology, 25, 3, 150-158.

Fritsch E., Rondeau B., Notari E., Michelou J.-C., Devouard B., Peucat J.-J., Chalain J.-P., Lutzac Y., Arboleda C., de Narvaez D. (2002), "Les nouvelles mines de la Pita (Colombie): 2ème partie", Revue de Gemmologie A.F.G., 144, 13-21.

Ginliani G. (1997). "Genèse des gisements d'émeraude du Brésil et de Colombie". Thèse d'Habilitation, INPL, Nancy, 147 p.

Giuliani G., Cheilletz A., Zimmermann J-L., Ribeiro-Althoff A.M., France-Lanord C., Féraud G. (1997a): "Les gisements d'émeraude du Brésil: genèse et typologie". Chronique de la Recherche Minière, 526, 17-61.

Giuliani G., France-Lanord C., Zimmermann J-L., Cheilletz, A., Arboleda C., Charoy B., Coget P., Fontan F., Giard D. (1997b). "Composition of fluids, dD of channel H2O and d18O of lattice oxygen in beryls: genetic implications for Brazilian. Colombian and Afghanistan emerald deposits". Intern. Geol. Review, 39, 400-474

Giuliani G., France-Lanord C., Coget P., Schwarz D., Notary (Notari) F., Cheilletz A., Chaussidon M., Giard D., Piat D., Bariand P. (1998). "Vers une carte d'identité isotopique 180/160 des émeraudes naturelles et synthétiques". In : Giard D., Giuliani G., Cheilletz A., Fritsch E., Gonthier E., ed., L'émeraude. Connaissances actuelles et prospectives, 55-70.

Giuliani G., Chaussidon M., Schubnel H.J., Piat D.H., Rollion-Bard C., France-Lanord Ch., Giard D., Narvaez D., Rondeau B. (2000). "Oxygen isotopes and emerald trade routes since the antiquity". Science, v. 287, n°5453, 631-633. Giuliani G., Chaussidon M., France-Lanord Ch., Savay-Guerraz H., Chiappero P.J., Schubnel H.J., Gavrilenko E., Schwarz D. (2001). "L'exploitation des mines d'émeraude d'Autriche et de la Haute Egypte à l'Epoque Gallo-romaine: mythe ou réalité?" Revue de Gemmologie A.F.G., N°143, 20-24.

Groat L.A., Marshall D.D., Giuliani G., Murphy D.C., Piercey S.J., Jambor J.L., Mortensen J.K., Erea T.S., Gault R.A., Mattey D.P., Schwarz D., Maluski H., Wise M.A., Wengzynowski W., Eaton W.D. (2002). "Mineralogical and geochemical study of the Regal Ridge showing emeralds, southeastern Yukon". Canadian Mineralogist, 40, 1313-1338.

Hämni H.A., Schwarz D., Fischer M. (1987). 'The emeralds of the Belmont mine, Minas Gerais, Brazil''. Journal of Gemmology. 20. N°7-8, 446-456.

Inda H.A.V., Schorscher H.D., Dardenne M.A., Schobbenhaus C., Haralyi N.E., Branco P.C.A., Ramalho R. (1984). "O cráton do Sao Francisco e a faixa de dobramento Araçuai". In: Geologia do Brasil. DNPM/MME, Brasilia. Brazil, 193-248.

Just E. (1926). "Emeralds at Bom Jesus dos Meiras, Bahia". Econ. Geol., 21, 808-810.

Kanis J., Cox R., Lopez J.M., Nogueira Magalhães R. (2001). "La géologie et l'exploitation de l'émeraude à Piteiras". Rapport non publié (propriedade Coqueiro et JML).

Kazni Ali H., Snef L.W., (1989), Emeralds of Pukistan, Van Nostrand Reinhold, New York, Elite Publishers Limited, Karachi, Pukistan.

Klein C, Hurlbut C S.Jr. (1993), Manual of Mineralogy. 21st edition, John Wiley & Sons Inc, New York, USA, 681p.

Kyser T.K. (1986). "Stable isotope variations in the mantle". Reviews in Mineralogy. Mineralogical Society of America, 16, 141-164.

Ledru P., Bouchot V. (1993). "Revue des minéralisations aurifères du craton précambrien de São Francisco (Brésil) et discussion sur leurs contrôles structuraux". Chronique de la Recherche Minière., 511, 5-20.

Machado N., Noce C.M., Belo de Oliveira O.A., Ladeira E.A. (1989). "Evolução geológica do Quadrilátero no Arqueano e Proterozóico inferior com base em geocronologia U-Pb". In: Anais do V Simpósio de Geologia de Minas Gerais, Brasília, SBG/MG, 10, 1-5.

MacKenzie W.S., Guilford C., (1992), Atlas de pétrographie, Minéraux de roches observés en lame mince, traduction de J.-P. Michel, Masson, Paris, France, 98p.

Maestrati Roland, (1989), Catalogue Raman des Gemmes, D.U.G., Université de Nontes, Nantes, France,

Marshak F., Alkmin F.F. (1989), "Proterozoic contraction/extension of the southern São Francisco region, Minas Gerais, Brazil". Tectonics, 8, 555-571.

Ribeiro-Althoff A.M., Cheilletz A., Giuliani, G., Féraud. G., Barbosa Camacho G., Zimmernann J-L. (1997). "Evidences of two periods (2 Gu and 650-500 Ma) of emerald formation in Brazil by K-Ar et 40Ar/39Ar dating". Intern. Geol. Review, 39, 924-937.

Romano A.W., Bertrand J.M., Michard A., Zimmermann J-L. (1991). "Tectonique tangentielle et décrochements d'âge Protérozoïque inférieur (orogenèse transamazonienne, environ 2000 Ma) au Nord du "Quadrilatère ferrifère" (Minas Gerais, Brésil)". C.R. Acad. Sci., Fr. 313, (II), 1195-1200.

Schorscher H.D., Guimarães P.F. (1976). "Estratigrafia e tectônica do Supergrupo Minas e geologia do distrito ferrifero de Itabira". In: XXIX Congresso Brasileiro de Geologia, Ouro Preto, SBG (ed.), Roteiro das Excursões, 75-86.

Schorscher H.D., Leterrier J. (1980). "Metasomatic formation of gramitic rocks: petrology and chemistry". In: 26th Intern. Geol. Congr., Paris, Abstracts, 1, p. 87.

Schorscher H.D., Santana F.C., Polonia J.C., Moreira J.M.P. (1982). "Quadrilátero Ferrífero - Minas Gerais state: Rio das Velhas Greenstone Belt and Proterozoic Rocks". In: International Symposium on Archean and Early Proterozoic geologic evolution and metallogenesis, Salvador, Bahia, Brazil, Excursions Annexes, 43 p.

Schwarz D (1987). Esmeraldas - Inclusões em gemas. Imprensa Universitária UFOP, Ouro Preto, 450 p.

Schwarz D., Giuliani G., Grundmann G., Glas M. (2002). "The origin of emerald... a controversial topic". Emeralds of the world. ExtraLapis English N°2: The Legendary green beryl. Editors: Giuliani G., Jarnot M., Annandale VA, Neumeier G., Ottaway T., Sinkankas J., Staeber G. Lapis International, LLC, Hampton USA, 18-23.

Souza J.L. (1988). "Mineralogia e geologia da esmeralda da jazida de Itabira, Minas Gerais". Revista Escola de Minas, 43, 2, 31-50.

Souza de J.L. (1990). "Mineralogia e geologia da esmeralda da jazida de Itabira, Minas Gerais". Revista Escola de Minas, 43. (2), 31-50.

Souza de J.L., Mendes J.C., da Silveira Bello R.M., Svisero D.P., Valarelli J.V. (1992). "Petrographic and microthermometrical studies of emeralds in the "Garinpo" of Capoeirana, Nova Era, Minas Gerais State. Brazil". Mineralium Deposita, 27, 161-168.

Stockton C.M. (1984). "The chemical distinction of natural from synthetic emeralds". Gems & Gemology, Vol. 20, No. 3, pp. 141-145.

Sunagawa I. & Urano A. (1999). "Beryl crystals from pegmatites: morphology and mechanism of crystal growth". Journal of Gemmology, 26, 8, 521-533.

Zecchini P., Maitrallet P., (1998). "Que peut apporter la spectrométrie Infrarouge dans l'étude des émeraudes", L'émeraude, Association Française de Gemmologie, Paris, France, pp 81-96.